

6 Ледовые условия на дальневосточных морях

Суровость зимних условий в регионе можно проследить по поведению такой характеристики, как ледовитость моря (рис. 6-1–6-3). Графики ледовитости построены на основе средней декадной ледовитости в % относительно общей площади моря для Охотского и Берингова морей и относительно площади предельного распространения льда для Японского моря [Якунин, 1987, Плотников, 2002]. При характеристике ледовых условий используется классификация: умеренная ледовитость (отклонения в пределах $\pm 1\sigma$ от нормы), большая (превышение нормы более чем 1σ) и малая (ниже нормы более чем 1σ), где σ – среднее квадратическое отклонение. За норму принята средняя многолетняя площадь моря, занятая льдом, за период 1971–2000 гг.

Японское море

В течение марта ледовые условия оставались мягкими, во второй декаде – чрезвычайно мягкими. Дефицит площади льда по отношению к норме составлял 12–24%, стандартизованные аномалии – $-1,3\sigma$, $-2,6\sigma$ и $-1,9\sigma$, соответственно по декадам. В этот период ледяной покров разрушался, наиболее активно – во второй декаде (площадь льда сократилась на 15% за декаду). В конце месяца льдом было покрыто 11 % площади предельного распространения льда (рис. 6-1).

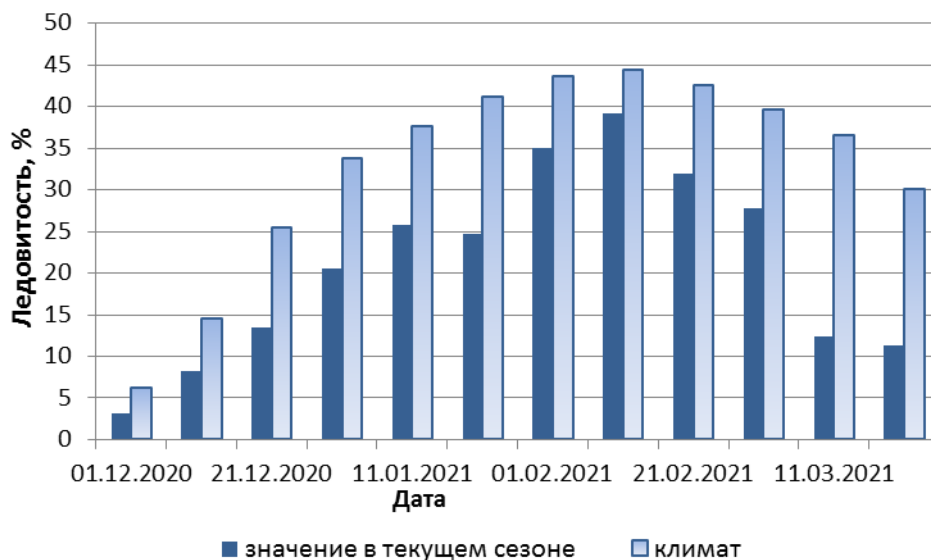


Рис. 6-1 Ледовитость Японского моря по декадам в сезон 2020–2021 гг. Климатические значения ледовитости получены за период 1971–2000 гг.

Охотское море

Ледовые условия марта по суровости оставались умеренными (близкими к средним многолетним). Отклонения ледовитости от нормы составляли 2–3%, стандартизованные аномалии – в пределах $\pm 0,3\sigma$. В течение первой и второй декад площадь льда нарастала на 3 и 6%, соответственно по декадам. Во второй декаде достигнут сезонный максимум, ледяной покров занимал 80% площади моря, что близко к средним многолетним показателям, в том числе по срокам наступления. В третьей декаде началось слабое разрушение ледяного покрова (площадь льда уменьшилась на 3%). В конце месяца льдом было покрыто 77% площади моря (рис. 6-2), что незначительно превышает норму (всего на 3 %).



Рис. 6-2 Ледовитость Охотского моря по декадам в сезон 2020–2021 гг. Климатические значения ледовитости получены за период 1971–2000 гг.

Берингово море

В течение месяца ледовые условия Берингова моря оставались умеренными, отклонения от нормы не превышали 5% (стандартизованные аномалии – в пределах $+0,2\sigma \dots -0,8\sigma$). Наблюдалось чередование незначительного возрастания и убывания ледовитости в пределах 2–5 % за декаду. В первой декаде отмечался сезонный максимум ледовитости, льдом было покрыто 34% площади моря, что близко к норме. В конце месяца площадь, занятая льдом, составляла 32 % от общей площади моря (рис. 6-3), это состояние близко к норме с небольшим дефицитом площади льда (стандартизованная аномалия равна $-0,5\sigma$).



Рис. 6-3 Ледовитость Берингова моря по декадам в сезон 2020–2021 гг. Климатические значения ледовитости получены за период 1971–2000 гг.